

## Fyzikální praktikum 2

# 1. Studium elektromagnetické indukce

### Úkoly k měření

- Změřte tvar napěťových pulzů na cívce v závislosti na výchylce kyvadla s magnetem.
- Z předchozí závislosti určete poloměr cívky a magnetický moment magnetu.
- Studujte tlumení indukovaných pulzů.

### Závislost indukovaných pulzů na výchylce

#### Teorie

Jedním z pilířů elektrodynamiky je Faradayův zákon [1], který vyjadřuje vztah mezi napětím  $U$  indukovaným v uzavřené smyčce a časovou změnou magnetického toku  $\Phi$  procházejícího plochou smyčky:

$$U = -\frac{d\Phi}{dt}. \quad (1.1)$$

V této úloze<sup>1</sup> budeme studovat elektromagnetickou indukci v systému znázorněném na obrázku 1.1. Zdrojem magnetického pole je permanentní magnet upevněný na dvojitěm kyvadle. Při kmitavém pohybu magnet periodicky prolétává cívkou a indukuje v ní napěťové pulzy, jejichž časovou závislost zaznamenáváme.

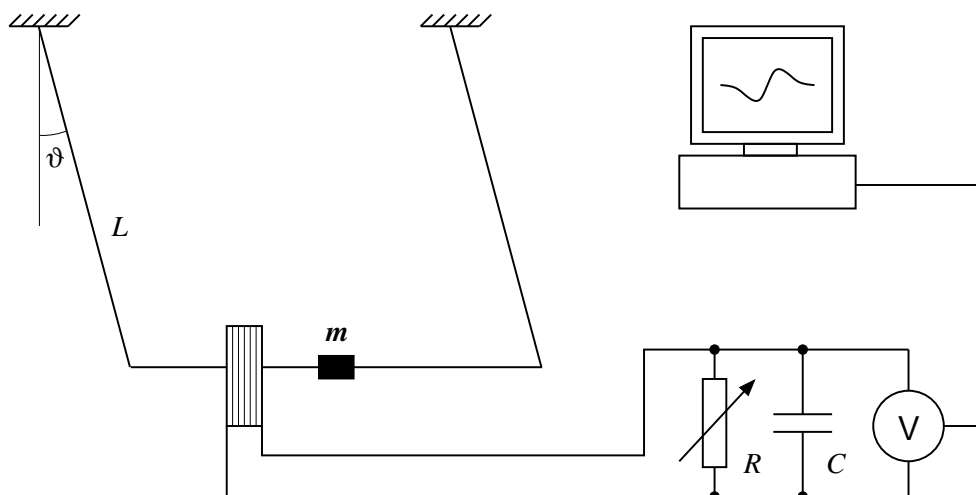
Aby mohla být hodnota měřeného napětí přenesena do počítače, je třeba ji převést do číselné podoby. K tomu slouží tzv. analogově-digitální (AD) převodník – zařízení, na jehož vstupu je analogový signál (v našem případě napětí a převodník tak slouží jako voltmetr) a na výstupu číselná (digitální) reprezentace tohoto signálu. AD-převodník použitý v praktiku má rozlišení 8 bitů, tedy osm číslic ve dvojkové soustavě. Je schopen rozeznat  $2^8 = 256$  úrovní napětí, což při jeho napěťovém rozsahu 2,5 V představuje měření s přesností 0,01 V.

#### Průběh indukovaných napěťových pulzů

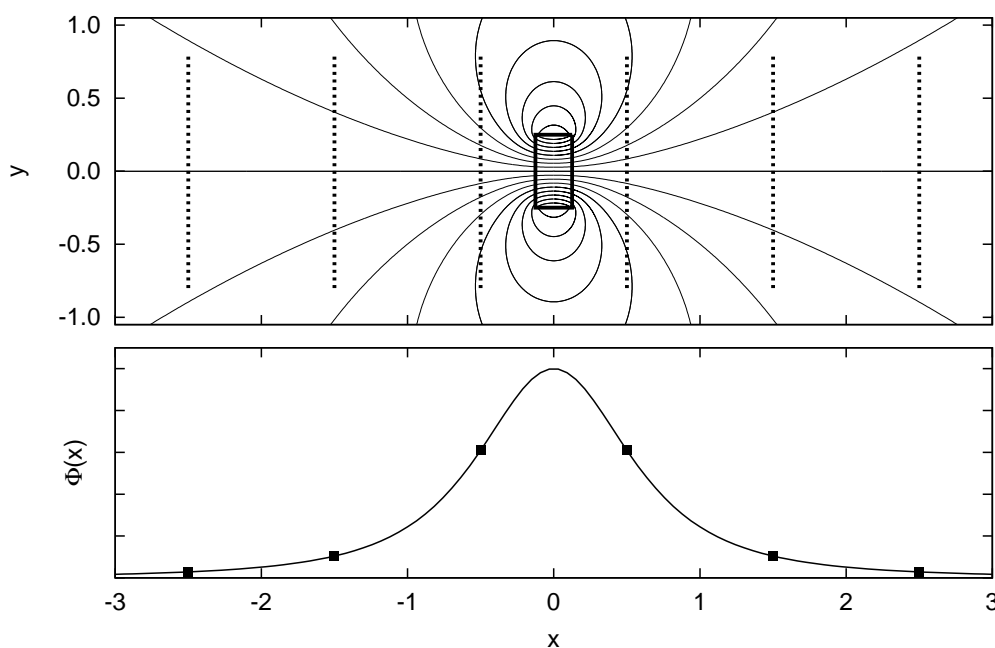
K indukci měřitelného napěťového pulzu dochází, pokud se magnet pohybuje v blízkosti snímací cívky. Pohyb magnetu vůči cívce v této oblasti můžeme pro jednoduchost nahradit rovnoměrným pohybem magnetu po ose cívky, popřípadě cívky po ose magnetu. Na obrázku 1.2 je ukázáno magnetické pole válcového permanentního magnetu. Uvažujme o cívce, která se pohybuje v poli magnetu, přičemž osa cívky splývá s osou magnetu. Tok magnetických indukčních čar cívkou v závislosti na vzdálenosti cívky od magnetu je vynesena ve spodní části obrázku 1.2. Napětí, které se v ní indukuje při jejím pohybu po ose, je podle Faradayova zákona (1.1) rovno záporně vzaté časové derivaci magnetického indukčního toku cívkou. Přibližuje-li se cívka k magnetu, vzrůstá tok její plochou a objevuje se záporné indukované napětí. Při průchodu kolem magnetu dosahuje magnetický indukční tok maxima, jeho časová derivace a tedy indukované napětí je v tomto bodě rovno nule. Konečně při vzdalování indukční tok klesá a indukované napětí je kladné. Svého

---

<sup>1</sup>Sestavení úlohy bylo inspirováno článkem [2].



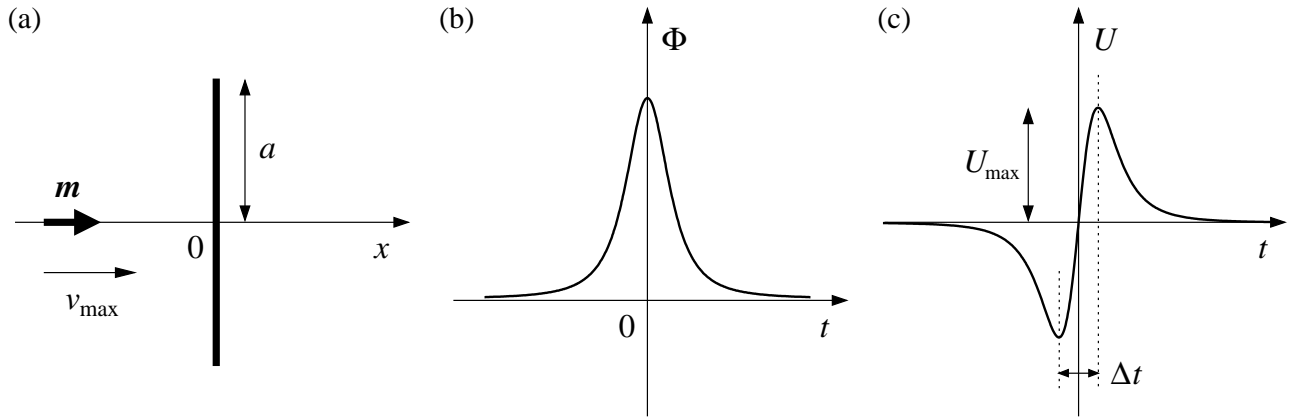
Obrázek 1.1: Schéma experimentálního uspořádání. Permanentní magnet prolétávající cívkou v ní indukuje napětí, které je snímáno počítačem. Cívka je zatížena proměnným rezistorem o odporu  $R$ , což omezuje proud v obvodu a tím přímo ovlivňuje elektromagnetické tlumení pohybu magnetu. Pro potlačení vysokofrekvenčního šumu můžeme paralelně k rezistoru zapojit kondenzátor s malou kapacitou  $C$  (řádově 100 nF).



Obrázek 1.2: Nahoře: Indukční čáry magnetického pole válcového magnetu, jehož osa je totožná s osou  $x$ . Dole: Magnetický indukční tok cívkou souosou s magnetem v závislosti na její vzdálenosti od magnetu. Polohy cívky pro zvýrazněné body na křivce jsou znázorněny přerušovanými čarami v horním panelu.

maxima (minima) nabude indukované napětí v místě, kde magnetický indukční tok klesá (roste) nejstrměji. Amplituda napěťového pulzu závisí na rychlosti pohybu. Čím rychleji se vůči sobě cívka a magnet pohybují, tím rychlejší jsou změny indukčního toku cívkou, což má podle Faradayova zákona za následek vyšší hodnotu indukovaného napětí.

Jednoduchý kvantitativní popis našeho experimentu je možný v přiblížení, kdy permanentní magnet nahradíme magnetickým dipólem a cívku kruhovým závitem. Dále budeme pohyb mag-



Obrázek 1.3: (a) Boční pohled na kruhový závit o poloměru  $a$ , jímž prolétá magnet s dipólovým momentem  $\mathbf{m}$ . (b) Časová závislost magnetického indukčního toku. (c) Napětí indukované v kruhovém závitě.

netu v těsné blízkosti cívky aproximovat rovnoměrným přímočarým pohybem po ose cívky rychlostí  $v_{\max}$ , která odpovídá nejnižšímu bodu skutečné kruhové trajektorie. Zjednodušená situace je znázorněná na obrázku 1.3(a). Magnetické pole magnetického dipólu je dáno vztahem [3, 4] (v jednotkách SI<sup>2</sup>)

$$\mathbf{B}(\mathbf{r}) = \frac{\mu_0}{4\pi r^3} \left[ \frac{3(\mathbf{r} \cdot \mathbf{m})\mathbf{r}}{r^2} - \mathbf{m} \right], \quad (1.2)$$

kde  $\mathbf{r}$  je polohový vektor vztahovaný na magnetický dipól,  $\mathbf{m}$  magnetický dipólový moment a  $\mu_0$  je permeabilita vakua. Snadným výpočtem lze ověřit, že magnetický indukční tok pole magnetického dipólu orientovaného ve směru osy  $x$  plochou kruhového závitu je roven

$$\Phi(x) = \int_S \mathbf{B} \, d\mathbf{S} = \frac{\mu_0 m}{2} \frac{a^2}{(a^2 + x^2)^{3/2}}, \quad (1.3)$$

kde  $a$  je poloměr kruhového závitu, do jehož středu umístíme počátek osy  $x$ .

K určení napětí indukovaného v závitě při pohybu magnetu uijeme Faradayův zákon (1.1). Necht' v čase  $t = 0$ s prochází dipól středem cívky, pak je jeho souřadnice  $x$  vyjádřena vztahem  $x = v_{\max}t$ . Provedeme-li za tohoto předpokladu časovou derivaci magnetického indukčního toku (1.3), získáme pro napětí indukované v cívkě s  $N$  závitů:

$$U(t) = -N \frac{d\Phi}{dt} = \frac{3N\mu_0 m v_{\max}}{2a^2} \frac{v_{\max}t/a}{[1 + (v_{\max}t/a)^2]^{5/2}}. \quad (1.4)$$

Časový průběh magnetického indukčního toku a indukovaného napětí jsou vykresleny na obrázku 1.3(b) a 1.3(c). Křivka závislosti indukovaného napětí na čase obsahuje jedno minimum a jedno maximum, které nám umožní zavést šířku pulzu  $\Delta t$  jako časový rozdíl mezi okamžikem maximálního a minimálního napětí a amplitudu napěťového pulzu  $U_{\max}$ . Je-li indukované napětí popsáno rovnicí (1.4), najdeme minimum napětí v bodě  $t_{\min} = -a/2v_{\max}$  a jeho maximum v bodě  $t_{\max} = +a/2v_{\max}$ . Šířka pulzu je tedy nepřímo úměrná rychlosti průletu:

$$\Delta t = a v_{\max}^{-1}. \quad (1.5)$$

Dále můžeme určit amplitudu napětí

$$U_{\max} = \frac{24}{25\sqrt{5}} \frac{N\mu_0 m}{a^2} v_{\max}, \quad (1.6)$$

<sup>2</sup>Jednotkou magnetické indukce je 1 T (tesla). Pojmenována byla po srbském fyzikovi Nikolu Teslovi (1856–1943). Oproti soustavě CGS (kde je jednotkou indukce Gauss), zde ve vzorci figuruje magnetická permeabilita vakua  $\mu_0$ .

která je naopak přímo úměrná rychlosti prolétajícího magnetu.

Zbývá určit rychlost  $v_{\max}$ , nejsnáze ze zákona zachování energie. Je-li hmotnost magnetu spolu s jeho nosníkem rovna  $M$ , platí

$$\frac{1}{2}Mv_{\max}^2 = MgL(1 - \cos \vartheta_{\max}), \quad (1.7)$$

kde  $g$  je zemské tíhové zrychlení,  $L$  délka kyvadla a  $\vartheta_{\max}$  úhlová amplituda jeho kmitů. Odtud

$$v_{\max} = 2\sqrt{gL} \sin\left(\frac{\vartheta_{\max}}{2}\right) \approx \sqrt{gL} \vartheta_{\max}. \quad (1.8)$$

## Úkoly

1. Změřte závislost amplitudy a šířky napěťového pulzu indukovaného v cívce na úhlové amplitudě kmitů (a tedy na rychlosti magnetu prolétajícího cívkou) a zjistěte, zda přibližně platí, že  $U_{\max}$  je přímo úměrné úhlu  $\vartheta_{\max}$  ( $U_{\max} \sim \vartheta_{\max}$ ) a čas  $\Delta t$  nepřímo úměrný tomuto úhlu ( $\Delta t \sim \vartheta_{\max}^{-1}$ ). Spolu s naměřenými hodnoty vynesete i přímku odpovídající modelové lineární závislosti.
2. Užitím vztahu (1.5) mezi šířkou pulzu a rychlostí průletu určete efektivní poloměr použité cívky. S pomocí parametrů cívky a vztahu (1.6) dále odhadněte magnetický dipólový moment použitého magnetu.

## Tlumení pohybu magnetu

### Teorie

V předchozí části jsme uvažovali o netlumeném kmitavém pohybu magnetu s konstantní amplitudou výchylky. Ve skutečnosti bude ovšem pohyb tlumený a to mechanicky (kvůli odporu vzduchu) a elektromagneticky (je-li obvod snímací cívky propojen a zátěžový odpor  $R$  není příliš velký). Časová závislost poklesu amplitudy v důsledku těchto dvou tlumení má odlišný charakter, který nám umožní v experimentu rozlišit režim s převážně mechanickým a převážně elektromagnetickým tlumením.

Vyšetříme nejprve případ mechanického tlumení, přičemž budeme sledovat úbytek mechanické energie  $E = Mv_{\max}^2/2$ . Předpokládejme, že odporová síla způsobená třením o vzduch při nízkých rychlostech je úměrná rychlosti magnetu<sup>3</sup>,  $F = kv$ . Pokud je tlumení pohybu malé, můžeme pohyb magnetu během jednoho kyvu popsat vztahem  $\vartheta = \vartheta_{\max} \cos \omega t$ , kde  $\vartheta_{\max}$  je amplituda kmitů v daném okamžiku a  $\omega = 2\pi/T$  je frekvence kmitů. Rychlost magnetu je v tomto případě rovna  $v = -v_{\max} \sin \omega t$ , kde  $v_{\max} = \vartheta_{\max} \omega L$ . Úbytek mechanické energie během jednoho kyvu, který získáme integrací výkonu odporové síly

$$\Delta E = \int_0^{T/2} Fv dt = \int_0^{T/2} k v_{\max}^2 \sin^2 \omega t dt = \frac{1}{4}Tk v_{\max}^2, \quad (1.9)$$

je malý vůči  $E$  a pro pozvolna klesající  $E$  je tak možné sestavit diferenciální rovnici

$$\frac{dE}{dt} \approx -\frac{\Delta E}{T/2} = -\frac{1}{2}k v_{\max}^2 = -\frac{k}{M}E. \quad (1.10)$$

Řešením této rovnice s počáteční podmínkou  $E(0) = E_0$  zjistíme, že mechanická energie, maximální rychlost magnetu i amplituda jeho kmitů exponenciálně klesají s časem

$$E(t) = E_0 e^{-kt/M}, \quad v_{\max}(t) \sim \sqrt{E} \sim e^{-\beta t}, \quad \vartheta_{\max}(t) \sim e^{-\beta t}, \quad \text{kde } \beta = \frac{k}{2M}. \quad (1.11)$$

<sup>3</sup>Lineární závislost odporu na rychlosti je vhodným přiblížením pro malé výchylky (a rychlosti) kyvadla, vedoucí k výsledkům v dostatečném souladu s experimentálně stanoveným poklesem amplitudy.

Nyní uvažujme o případě, kdy je tlumení pohybu magnetu čistě elektromagnetické. Ke ztrátě mechanické energie dojde při průletu magnetu cívkou, kdy indukované napětí vyvolá proud cívkou a její pole pak brzdí pohyb magnetu. Úbytek mechanické energie během jednoho kyvu stanovíme pomocí ztrátového výkonu na zatěžovacím odporu  $R$  a vlastním odporem cívky  $R_c$

$$\Delta E = \int_{\text{průlet}} U I dt = \int_{\text{průlet}} \frac{U^2}{R + R_c} dt . \quad (1.12)$$

Vzhledem k tomu, že amplituda napětí je úměrná  $v_{\max}$  a čas průletu je úměrný  $v_{\max}^{-1}$ , je úbytek energie úměrný  $v_{\max}$ . Podrobný výpočet využívající vztahu (1.4) ukazuje, že

$$\Delta E = K v_{\max} , \quad \text{kde} \quad K = \frac{45\pi}{512} \frac{N^2 \mu_0^2 m^2}{(R + R_c) a^3} . \quad (1.13)$$

V analogii s rovnicí (1.10) můžeme psát

$$\frac{dE}{dt} \approx -\frac{\Delta E}{T/2} = -\frac{2K}{T} v_{\max} = -\frac{2K}{T} \sqrt{\frac{2E}{M}} \quad \text{odkud} \quad \sqrt{E(t)} = \sqrt{E_0} - \frac{K}{T} \sqrt{\frac{2}{M}} t . \quad (1.14)$$

Jelikož  $\vartheta_{\max}(t) \sim v_{\max}(t) \sim \sqrt{E}$ , dostáváme lineární pokles amplitudy kmitů v čase

$$\vartheta_{\max}(t) = \vartheta_{\max}(0) - \alpha t , \quad \text{kde} \quad \alpha = \frac{2K}{TM\sqrt{gL}} . \quad (1.15)$$

Tento vztah je možné použít, dokud je amplituda kmitů dostatečně velká. Poté přestává platit rovnice (1.13) a především výchozí předpoklad o malém relativním úbytku mechanické energie během jednoho kyvu.

Při určení amplitudy kmitů z amplitudy indukovaného napětí je třeba vzít v úvahu, že změřená amplituda napětí je nižší než indukovaná vlivem dělení na odporech v obvodu. Pro proud v obvodu platí

$$I = \frac{U_{\max, \text{induc}}}{R + R_c} \quad (1.16)$$

a zároveň pro napětí měřené pouze na zatěžovacím odporu

$$I = \frac{U_{\max, \text{meas}}}{R} \quad (1.17)$$

Pro toto napětí pak dostaneme

$$U_{\max, \text{meas}} = U_{\max, \text{induc}} \frac{R}{R + R_c} . \quad (1.18)$$

Tato oprava je podstatná pro malé hodnoty zatěžovacího odporu  $R$ . Závislost amplitudy napětí na výchylce byla měřena v povinné části. Alternativně je možno určit amplitudu kmitů z šířky pulzu  $\Delta t$ , kde není žádná korekce nutná.

## Úkoly

1. Pro několik hodnot zatěžovacího odporu  $R$  sledujte tlumení kmitavého pohybu magnetu a určete časovou závislost amplitudy kmitů  $\vartheta_{\max}$ . Využijte přitom amplitudy napětí (s korekcí dle (1.18)) event. šířky jednotlivých napěťových pulzů. V případě malého zatěžovacího odporu byste měli pozorovat lineární pokles amplitudy kmitů (1.15), v opačném případě je charakter poklesu spíše exponenciální (1.11).
2. Zjistěte, zda je směrnice  $\alpha$  poklesu amplitudy kmitů pro případ dominantního elektromagnetického tlumení nepřímo úměrná  $R + R_c$ , jak předpovídá teorie (např. proložením závislosti hodnot  $1/\alpha$  na  $R$  přímkou, průsečík s osou  $x$  by měl odpovídat hodnotě  $-R_c$ ).
3. Stanovte koeficient útlumu  $\beta$  pro případ převládajícího mechanického tlumení.<sup>4</sup>

<sup>4</sup>NB: Parametry  $\alpha$  a  $\beta$  mají (různé) jednotky.

**Literatura:**

- [1] R.P. Feynman, R.B. Leighton, M. Sands: *Feynmanovy přednášky z fyziky s řešenými příklady 2/3*, Fragment (2006).
- [2] A. Singh, Y.N. Mohapatra, S. Kumar, Am. J. Phys. **70**, 424 (2002).
- [3] D. Griffith: *Introduction to electrodynamics*, Prentice-Hall (1999).
- [4] J.D. Jackson: *Classical electrodynamics*, Wiley (1999).